
Математическая теория телетрафика и сети телекоммуникаций

УДК 621.39

Об одной системе массового обслуживания с активным управлением очередью

Ю. В. Гайдамака*, А. Г. Масленников†

** Кафедра систем телекоммуникаций
Российский университет дружбы народов
ул. Миклуто-Маклая, д. 6, Москва, 117198, Россия*

*† Представительство компании «Астра Европа АГ»
ул. Обручева, 23, копр.3, Москва, 117630, Россия*

В статье рассмотрена система передачи данных с активным управлением очередью, предназначенная для предотвращения перегрузок, где в качестве функции управления используется нечёткий регулятор. Решена задача построения математической модели, учитывающей особенности функционирования системы передачи данных с активным управлением очередью, целью которого является удержание длины очереди в области значений, близких к заданному эталонному значению длины очереди. При построении модели использован метод гистерезисного управления поступающей нагрузкой с двумя порогами. Математической моделью является система массового обслуживания с пороговым управлением очередью, которая предназначена для анализа возможностей применения метода гистерезисного управления нагрузкой в системах с активным управлением. Модель описывается марковским процессом, для которого численно решена система уравнения равновесия, найдены стационарные вероятности состояний. Основными вероятностно-временными характеристиками модели являются средняя длина очереди, среднеквадратическое отклонение длины очереди и вероятность отклонения длины очереди от эталонного значения в заданных пределах. Результаты численного анализа в диапазоне нагрузки, включающем перегрузки системы, показали адекватность построенной математической модели с гистерезисным управлением нагрузкой системе с активным управлением очередью на базе нечёткого регулятора.

Ключевые слова: система массового обслуживания, активное управление очередью, гистерезисное управление, марковский процесс, система уравнений равновесия, средняя длина очереди.

1. Введение

Несмотря на постоянный рост скоростей передачи данных в сетях TCP/IP, проблема возникновения перегрузок остаётся по-прежнему актуальной. Экономически оправданно в пакетных сетях предоставлять абонентам суммарную скорость подключения большую, чем доступно на узле агрегации. Поэтому всегда существует вероятность перегрузки и переполнения выходного буфера маршрутизатора и ухудшения параметров качества обслуживания, таких как процент потерянных пакетов, задержка и джиттер. Использование функции управления поступающими в буфер заявками на основе нечёткого регулятора позволяет в моменты перегрузки эффективно управлять нелинейной динамикой нагрузки и поддерживать длину очереди на заданном уровне, что обеспечивает стабильность задержки [1, 2].

Рассматривается система передачи данных с буфером емкости B , для которого определена величина Q_{ref} ($0 < Q_{\text{ref}} < B$) эталонной длины очереди. На систему поступает поток пакетов, которые передаются в канал в порядке «первым пришёл

Статья поступила в редакцию 25 июля 2013 г.

Работа выполнена при частичной финансовой поддержке Российского фонда фундаментальных исследований (гранты 12-07-00108, 13-07-00953) и Министерства образования и науки Российской Федерации (проект 8.7962.2013).

— первым обслужен» с постоянной скоростью передачи. В моменты t_i измерений модуль «Монитор» (рис. 1) фиксирует два параметра системы — текущую длину q_i очереди и интенсивность r_i поступления пакетов на последнем закончившемся интервале наблюдения $\Delta t_i = t_i - t_{i-1}$, $i \geq 1$.

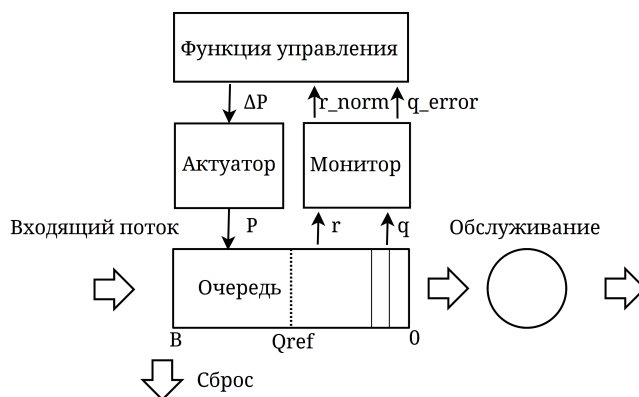


Рис. 1. Система передачи данных с активным управлением очередью

Модуль «Монитор» на вход модуля «Функция управления» передаёт нормированное значение $q_{\text{errornorm}}^i$ отклонения длины очереди от эталонного значения и нормированное значение интенсивности поступления пакетов на интервале Δt_i , которые вычисляются по формулам:

$$q_{\text{errornorm}}^i = \begin{cases} \frac{q^i - Q_{\text{ref}}}{B - Q_{\text{ref}}}, & q_i \geq Q_{\text{ref}}, \\ \frac{q^i - Q_{\text{ref}}}{Q_{\text{ref}}}, & q_i < Q_{\text{ref}}, \end{cases} \quad (1)$$

$$r_{\text{norm}}^i = \begin{cases} \frac{r^i - \mu}{\mu}, & \frac{r_i}{\mu} \leq 2, \\ 1, & \frac{r_i}{\mu} > 2, \end{cases} \quad (2)$$

где μ — интенсивность обслуживания.

Модуль «Функция управления» использует значение входных параметров $q_{\text{errornorm}}^i$ и r_{norm}^i для расчета выходного параметра — приращения вероятности сброса пакета ΔP^i на следующем интервале наблюдения Δt_{i+1} , $i \geq 1$. В рассматриваемой нами системе функция управления получена с помощью метода нечёткой логики в [3, 4], и ее вид показан на рис. 2.

Рассчитанное с помощью функции управления значение приращения сброса пакета $\Delta P^i \in [-1, 1]$ используется модулем «Актуатор» для вычисления вероятности сброса пакета по формуле

$$P^{i+1} = P^i + \Delta P^i \cdot P_{\text{max}}, \quad i \geq 1, \quad (3)$$

где $0 < P_{\text{max}} < 1$ максимальное значение приращения вероятности сброса на любом интервале наблюдения. Таким образом, на интервале Δt_i с вероятностью P^i модуль «Актуатор» сбрасывает пакеты на входе в буфер маршрутизатора.

Задачей данной статьи является построение математической модели, учитывающей особенности функционирования системы передачи данных с активным управлением очередью, а также исследование возможности применения в такой системе гистерезисного управления нагрузкой.

В разделе 2 статьи мы строим модель в виде системы массового обслуживания (СМО) с гистерезисным управлением нагрузкой аналогично [5, 6], в разделе 3 выводится система уравнений марковского процесса, описывающего функционирование СМО, а в разделе 4 приводим пример численного анализа ее основных вероятностно-временных характеристик (ВВХ).

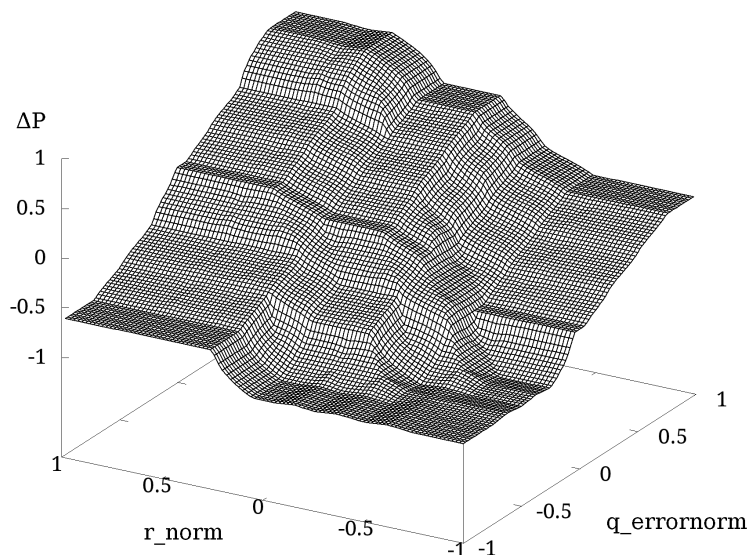


Рис. 2. Функция активного управления очередью

2. Модель СМО с гистерезисным управлением

Проведем дискретизацию параметров функции управления очередью, введя параметр $r \in \{0, 1, 2, 3, 4\}$, характеризующий уровень интенсивности нагрузки на систему, и параметр $s \in \{0, 1, 2, 3, 4\}$ статуса перегрузки, который определяет уровень загрузки системы, т.е. степень наполненности буфера. При этом состояниям с одинаковым уровнем интенсивности нагрузки r может соответствовать разный статус перегрузки s .

В табл. 1 показано соответствие значений параметра r диапазонам изменения интенсивности поступления пакетов r_i , а в табл. 2 – соответствие значения статуса перегрузки.

Таблица 1

Уровни интенсивности нагрузки

Уровень нагрузки	Значение параметра r	Диапазон параметра r_{norm}^i
Малая	0	$[-1; -0,6)$
Средняя	1	$[-0,6; -0,2)$
Норма	2	$[-0,2; 0,2)$
Высокая	3	$[0,2; 0,6)$
Перегрузка	4	$[0,6; 1]$

Для управления интенсивностью предложенной нагрузки в очереди системы вводятся два порога – нижний порог L и верхний порог H таким образом, что выполняется соотношение $L < Q_{\text{ref}} < H$. Пока общее число заявок в системе не

Таблица 2

Уровни статуса перегрузки

Статус перегрузки	Значение параметра s
Малая нагрузка	0
Нормальная нагрузка	1
Начало перегрузки	2
Перегрузка	3
Сброс нагрузки	4

превышает значение $H + 1$, система функционирует в нормальном режиме (малая и нормальная нагрузка). Если число заявок в системе превысило значение $H + 1$, система переходит в режим перегрузки (начало перегрузки и перегрузка). Система остается в режиме перегрузки до тех пор, пока число заявок в очереди q не достигнет значения $Q_{ref} - 1$ или B . При достижении длиной очереди значения $Q_{ref} - 1$ система возвращается в нормальный режим функционирования, а при достижении длиной очереди значения B система переходит в режим сброса нагрузки, в котором остается до тех пор, пока длина очереди превышает порог H , и возвращается в режим перегрузки, когда число заявок в очереди становится равным H .

Рассмотрим изображенную на рис. 3 СМО. На систему с буферным накопителем емкости B , нижним порогом L , верхним порогом H и эталонным значением длины очереди Q_{ref} поступает пуассоновский поток заявок с интенсивностью $\lambda(s, q, r)$, зависящей от состояния системы. Заявки обслуживаются в порядке поступления по экспоненциальному закону с интенсивностью μ .

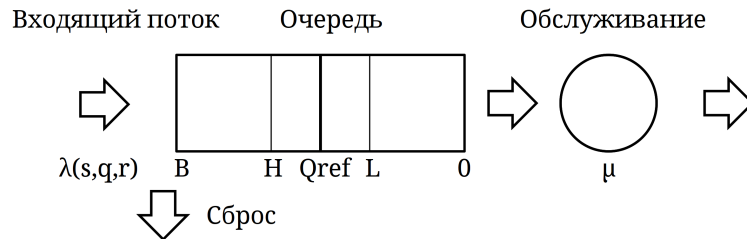


Рис. 3. СМО с активным пороговым управлением очередью

Множество состояний СМО представим в виде

$$X = X_0 \cup X_1 \cup X_2 \cup X_3 \cup X_4, \tag{4}$$

где непересекающиеся множества X_r описывают состояния, соответствующие уровням r интенсивности нагрузки на СМО: X_0 — множество состояний малой нагрузки, X_1 — множество состояний средней нагрузки, X_2 — множество состояний нормальной нагрузки, X_3 — множество состояний высокой нагрузки и X_4 — множество состояний перегрузки.

Множества уровней r интенсивности нагрузки, в свою очередь, также могут быть представлены в виде объединения непересекающихся множеств по следующей формуле:

$$X_r = \begin{cases} X_{0,0}, \\ X_{s-1,r} \cup X_{s,r}, & s = r, \quad r = 1, 2, 3, \\ X_{4,4}, \end{cases} \tag{5}$$

где множества $X_{s,r}$ имеют следующий вид:

$$\begin{aligned}
X_{0,0} &= \{(s, q, r) : s = 0, r = 0, 0 \leq q \leq Q_{\text{ref}}\}, \\
X_{0,1} &= \{(s, q, r) : s = 0, r = 1, 1 \leq q \leq Q_{\text{ref}} + 1\}, \\
X_{1,1} &= \{(s, q, r) : s = 1, r = 1, L \leq q \leq H\}, \\
X_{1,2} &= \{(s, q, r) : s = 1, r = 2, L + 1 \leq q \leq H + 1\}, \\
X_{2,2} &= \{(s, q, r) : s = 2, r = 2, Q_{\text{ref}} \leq q \leq B - 3\}, \\
X_{2,3} &= \{(s, q, r) : s = 2, r = 3, Q_{\text{ref}} + 1 \leq q \leq B - 2\}, \\
X_{3,3} &= \{(s, q, r) : s = 3, r = 3, H \leq q \leq B - 1\}, \\
X_{4,4} &= \{(s, q, r) : s = 4, r = 4, H + 1 \leq q \leq B\}.
\end{aligned} \tag{6}$$

Обозначим λ_r , $r = 0, 1, 2, 3, 4$, интенсивность поступающего потока на СМО на r -м уровне интенсивности нагрузки, причем $\lambda_0 = \lambda$. Тогда интенсивность $\lambda(s, q, r)$ потока, поступающего на СМО, определяется формулой

$$\lambda(s, q, r) = \begin{cases} \lambda_0, & (s, q, r) \in X_{0,0}, \\ (1 - p_r)\lambda_{r-1}, & (s, q, r) \in X \setminus (X_{0,0} \cup X_{4,4}), \\ 0, & (s, q, r) \in X_{4,4}, \end{cases} \tag{7}$$

где p_r – вероятность сброса пакетов на r -м уровне. Вид функции $\lambda(s, q, r)$ схематично изображен на рис. 4. Здесь сплошными линиями показаны значения функции интенсивности потока и пунктирными стрелками направления переходов между множествами состояний системы.

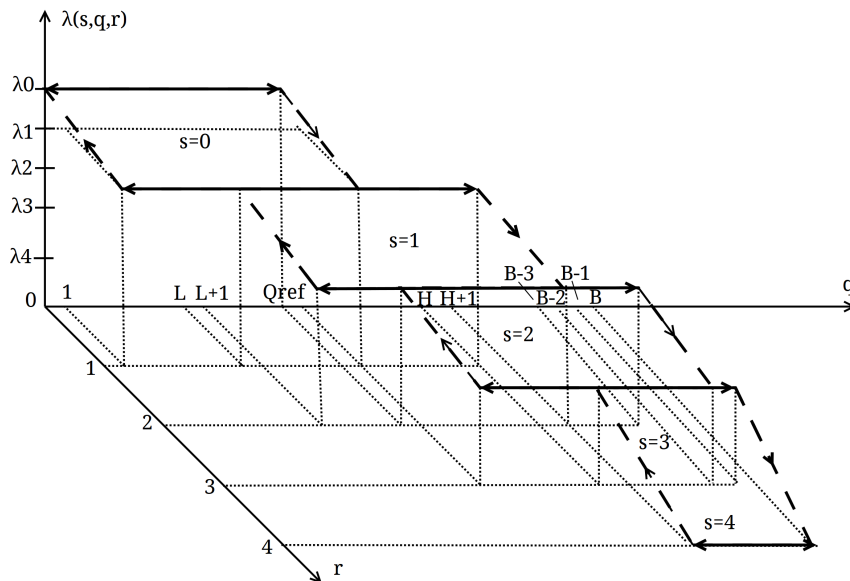


Рис. 4. Гистерезисное управление нагрузкой в СМО с активным управлением длиной очереди

3. Система уравнений равновесия

Функционирование построенной в предыдущем разделе СМО с активным управлением очередью описывается марковским процессом $X(t)$ на множестве X . Нетрудно убедиться, что диаграмма интенсивностей переходов марковского процесса $X(t)$ имеет вид, показанный на рис. 5.

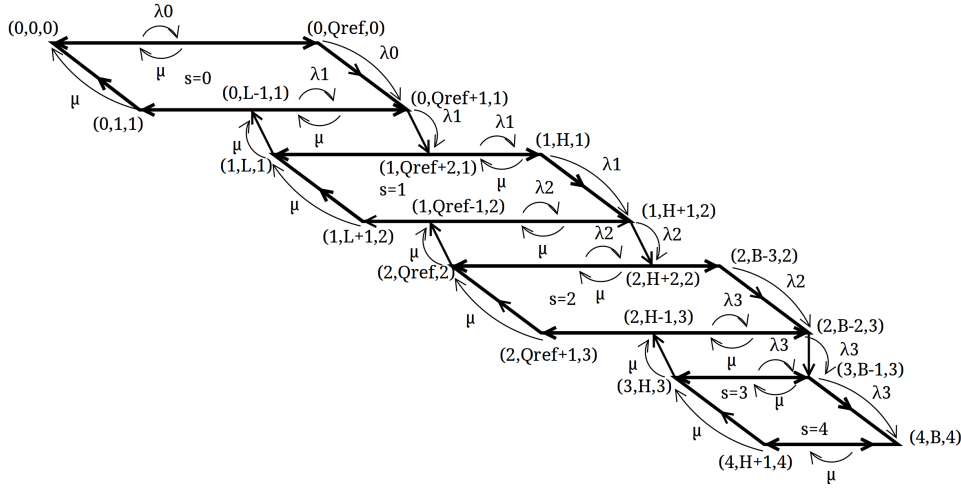


Рис. 5. Диаграмма интенсивностей переходов марковского процесса

Из диаграммы интенсивностей переходов может быть получена система уравнений равновесия марковского процесса $X(t)$ в следующем виде:

$$\left\{ \begin{array}{l}
 \lambda_0 p_{0,0,0} = \mu p_{0,1,0} + \mu p_{1,1,1}, \\
 (\lambda_0 + \mu) p_{0,q,0} = \lambda_0 p_{0,q-1,0} + \mu p_{0,q+1,0}, \quad q = \overline{1, Q_{\text{ref}} - 1}, \\
 (\lambda_0 + \mu) p_{0, Q_{\text{ref}}, 0} = \lambda_0 p_{0, Q_{\text{ref}} - 1, 0}, \\
 (\lambda_1 + \mu) p_{0,1,1} = \mu p_{0,2,1}, \\
 (\lambda_1 + \mu) p_{0,q,1} = \lambda_1 p_{0,q-1,1} + \mu p_{0,q+1,1}, \quad q = \overline{1, L - 2}, \quad q = \overline{L, Q_{\text{ref}}}, \\
 (\lambda_1 + \mu) p_{0, L - 1, 1} = \lambda_1 p_{0, L - 2, 1} + \mu p_{0, L, 1} + \mu p_{1, L, 1}, \\
 (\lambda_1 + \mu) p_{0, Q_{\text{ref}} + 1, 1} = \lambda_1 p_{0, Q_{\text{ref}}, 1} + \lambda_1 p_{0, Q_{\text{ref}} + 1, 1}, \\
 (\lambda_1 + \mu) p_{1, L, 1} = \mu p_{1, L + 1, 1} + \mu p_{1, L + 1, 2}, \\
 (\lambda_1 + \mu) p_{1,q,1} = \lambda_1 p_{1,q-1,1} + \mu p_{1,q+1,1}, \quad q = \overline{L + 1, Q_{\text{ref}} + 1}, \quad q = \overline{Q_{\text{ref}} + 3, H - 1}, \\
 (\lambda_1 + \mu) p_{1, Q_{\text{ref}} + 2, 1} = \lambda_1 p_{1, Q_{\text{ref}} + 1, 1} + \lambda_1 p_{0, Q_{\text{ref}} + 1, 1} + \mu p_{1, Q_{\text{ref}} + 3, 1}, \\
 (\lambda_1 + \mu) p_{1, H, 1} = \lambda_1 p_{1, H - 1, 1}, \\
 (\lambda_2 + \mu) p_{1, L + 1, 2} = \mu p_{1, L + 2, 2}, \\
 (\lambda_2 + \mu) p_{1,q,2} = \lambda_2 p_{1,q-1,2} + \mu p_{1,q+1,2}, \quad q = \overline{L + 2, Q_{\text{ref}} - 2}, \quad q = \overline{Q_{\text{ref}}, H}, \\
 (\lambda_2 + \mu) p_{1, Q_{\text{ref}} - 1, 2} = \lambda_1 p_{1, Q_{\text{ref}} - 2, 2} + \mu p_{1, Q_{\text{ref}}, 2} + \mu p_{2, Q_{\text{ref}}, 2}, \\
 (\lambda_2 + \mu) p_{1, H + 1, 2} = \lambda_1 p_{1, H, 2} + \lambda_1 p_{1, H, 1}, \\
 (\lambda_2 + \mu) p_{2, Q_{\text{ref}}, 2} = \mu p_{2, Q_{\text{ref}} + 1, 2} + \mu p_{2, Q_{\text{ref}} + 1, 3}, \\
 (\lambda_2 + \mu) p_{2,q,2} = \lambda_2 p_{2,q-1,2} + \mu p_{2,q+1,2}, \quad q = \overline{Q_{\text{ref}} + 1, H + 1}, \quad q = \overline{H + 3, B - 4}, \\
 (\lambda_2 + \mu) p_{2, H + 2, 2} = \lambda_2 p_{2, H + 1, 2} + \lambda_2 p_{1, H + 1, 2} + \mu p_{2, H + 3, 2}, \\
 (\lambda_2 + \mu) p_{2, B - 3, 2} = \lambda_2 p_{2, B - 4, 2}, \\
 (\lambda_3 + \mu) p_{2, Q_{\text{ref}} + 1, 3} = \mu p_{2, Q_{\text{ref}} + 2, 3}, \\
 (\lambda_3 + \mu) p_{2,q,3} = \lambda_2 p_{2,q-1,3} + \mu p_{2,q+1,3}, \quad q = \overline{Q_{\text{ref}} + 2, H - 2}, \quad q = \overline{H, B - 3}, \\
 (\lambda_3 + \mu) p_{2, H - 1, 3} = \lambda_3 p_{2, H - 2, 3} + \mu p_{2, H, 3} + \mu p_{3, H, 3}, \\
 (\lambda_3 + \mu) p_{2, B - 2, 3} = \lambda_3 p_{2, B - 3, 3} + \lambda_2 p_{2, B - 3, 2}, \\
 (\lambda_3 + \mu) p_{3, H, 3} = \mu p_{3, H + 1, 3} + \mu p_{4, H + 1, 4}, \\
 (\lambda_3 + \mu) p_{3,q,3} = \lambda_3 p_{3,q-1,3} + \mu p_{3,q+1,3}, \quad q = \overline{H + 1, B - 2}, \\
 (\lambda_3 + \mu) p_{3, B - 1, 3} = \lambda_3 p_{3, B - 2, 3} + \lambda_3 p_{2, B - 2, 3}, \\
 \mu p_{4, B, 4} = \lambda_3 p_{3, B - 1, 3}, \\
 p_{4,q-1,4} = p_{4,q,4}, \quad q = \overline{H + 1, B}.
 \end{array} \right.$$

Для численного анализа вероятностных характеристик исследуемой СМО, система уравнений равновесия решалась численно с использованием метода LU-разложения.

4. Численный анализ

Обозначим Y множество тех состояний СМО, в которых длина очереди находится в диапазоне $q \in [L, H]$, и представим его в виде

$$Y = Y_0 + Y_1 + Y_2, \quad (8)$$

где

$$Y_0 = \{(s, q, r) : s = 0, r = 0, L \leq q \leq Q_{\text{ref}}\} \cup \\ \cup \{(s, q, r) : s = 0, r = 1, L \leq q \leq Q_{\text{ref}} + 1\};$$

$$Y_1 = \{(s, q, r) : s = 1, r = 1, L \leq q \leq H\} \cup \\ \cup \{(s, q, r) : s = 1, r = 2, L + 1 \leq q \leq H\};$$

$$Y_2 = \{(s, q, r) : s = 2, r = 2, Q_{\text{ref}} \leq q \leq H\} \cup \\ \cup \{(s, q, r) : s = 2, r = 3, Q_{\text{ref}} + 1 \leq q \leq H\}.$$

Необходимо оптимизировать систему с целью достижения максимального значения вероятности $P(Y)$ отклонения длины очереди от эталонного значения в пределах $L \leq q \leq H$.

Для проведения численного анализа в качестве исходных данных выберем емкость буферного накопителя $B = 50$, значение эталонной длины очереди $Q_{\text{ref}} = 25$, значения порогов $L = 20$ и $H = 30$. Заметим, что при данных значениях мощность множества состояний СМО и, следовательно, размерность системы уравнений равновесия, равна 160. Подберём значения интенсивностей предложенной нагрузки такими, чтобы вероятность $P(Y)$ достигла максимального значения. В рассматриваемом нами примере при значениях интенсивностей $\lambda_0 = 1.95$, $\lambda_1 = 1.2$, $\lambda_2 = 0.47$, $\lambda_3 = 0.43$, $\lambda_4 = 0$ и интенсивности обслуживания $\mu = 1$ эта вероятность достигает значения $P(Y) = 0,68$. Стационарные вероятности пребывания системы в подмножествах множества состояний марковского процесса $X(t)$ показаны на рис. 6.

На рис. 7 показаны рассчитанные для данного численного примера зависимости средней длины очереди, среднеквадратического отклонения (СКО) длины очереди и вероятности $P(Y)$ отклонения длины очереди от эталонного значения в пределах $L \leq q \leq H$ в зависимости от нагрузки на систему ρ в диапазоне, включающем перегрузки системы $\rho \in [0, 2]$.

Из графиков на рис. 7 видно, что с увеличением нагрузки и переходе системы в режим перегрузки $\rho > 1$ средняя длина очереди стремится к заданному эталонному значению длины очереди $Q_{\text{ref}} = 25$, а вероятность отклонения длины очереди от эталонного значения в пределах порогов от $L = 20$ до $H = 30$ с началом перегрузки также достигает максимального значения $P(Y) = 0,68$.

5. Заключение

В статье построена математическая модель системы передачи данных с активным управлением очередью. Модель построена с целью исследования возможности применения гистерезисной политики при активном управлении очередью и качественного анализа ее вероятностно-временных характеристик.

Результаты численного анализа показывают адекватность построенной математической модели с гистерезисным управлением нагрузкой системы с активным управлением очередью на базе нечёткого регулятора.

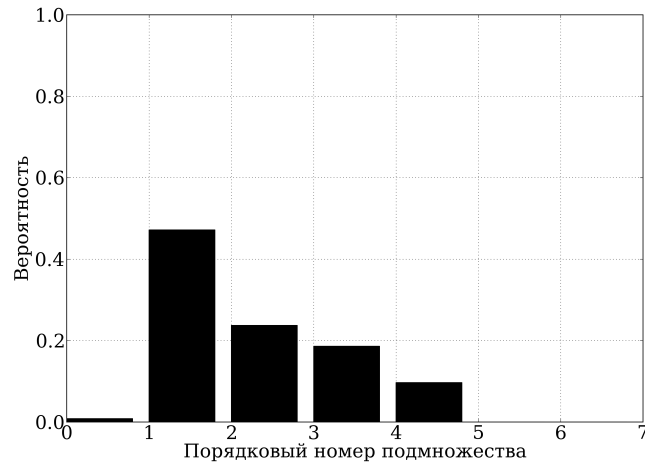


Рис. 6. Вероятности пребывания СМО в подмножествах $X_{0,0}, X_{0,1}, X_{1,1}, X_{1,2}, X_{2,2}, X_{2,3}, X_{3,3}, X_{4,4}$

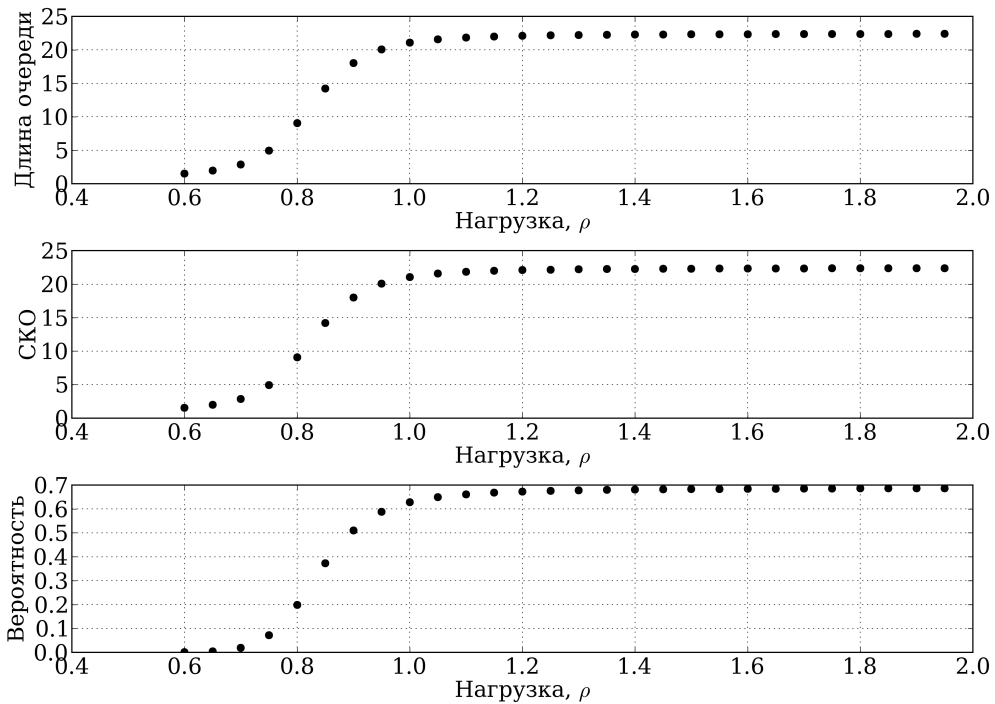


Рис. 7. Средняя длина очереди, средноквадратическое отклонение длины очереди и вероятность отклонения длины очереди от эталонного значения

Литература

1. *Fengyuan R., Yong R., Xiuming S.* Design of Fuzzy Logic Controller for Active Queue Management // *Computer Communications*. — 2002. — No 25. — Pp. 874–883.
2. *Chrysostomou C., Pitsillides A., Sekercioglu Y. A.* Fuzzy Explicit Marking: a Unified Congestion Controller for Best-Effort and Diff-Serv Networks // *Computer Networks*. — 2009. — No 53. — Pp. 650–667.
3. *Пегат А.* Нечёткое моделирование и управление / пер. с англ. — М.: Бином. Лаборатория знаний, 2009. — 798 с. [Piegat A. *Fuzzy Modeling and Control*. — Moscow: Binom. Laboratory of knowledge, 2009. — 798 p.]
4. *Деарт В. Ю., Масленников А. Г.* Исследование влияния параметров канала передачи данных на процедуры управления очередью // *T-Comm*. — 2012. — № 7. — С. 77–81. [Deart V., Maslennikov A. Investigation of Influence of Data Transmission Link Parameters on Queue Management Procedures // *T-Comm*. — 2012. — No 7. — P. 77–81.]
5. *Абаев П. О., Гаїдамака Ю. В., Самуїлов К. Е.* Гистерезисное управление сигнальной нагрузкой в сети SIP-серверов // *Вестник РУДН. Серия «Математика. Информатика. Физика»*. — 2011. — № 4. — С. 54–71. [Abaev P.O., Gaidamaka Yu.V., Samouylov K.E. Signaling Load Hysteretic Control in the SIP-servers Network // *Bulletin of Peoples' Friendship University of Russia. Series "Mathematics. Informatics. Physics"*. — 2011. — No 4. — P. 54–71.]
6. *Gaidamaka Y. V.* Model with Threshold Control for Analyzing a Server with an SIP Protocol in the Overload Mode // *Automatic Control and Computer Sciences*. — 2013. — Vol. 47, No 4. — Pp. 211–218.

UDC 621.39

On a Queuing System with an Active Queue Management

Yu. V. Gaidamaka*, A. G. Maslennikov†

* *Telecommunication Systems Department
Peoples' Friendship University of Russia
Miklukho-Maklaya str., 6, Moscow, 117198, Russia*

† *Representative office of Aastra Europe AG
Obrucheva str., 23, bld. 3, Moscow, 117630, Russia*

We consider a data transfer system with an active queue management designed to prevent overloading, where fuzzy logic controller is used. We developed a mathematical model that takes into account the features of the data transfer system with an active queue management, which keeps the queue length in the range of values close to a given reference value of the queue length. The method of hysteretic control for incoming load with two thresholds was used as a basis of the model. The mathematical model is a queuing system with a threshold control, which is designed for the analysis of the possibility of hysteresis in modeling of systems with active queue management. The model was described by a Markov process, for which the numerical solution of the equilibrium equations was obtained, steady state probabilities were calculated. The main probabilistic measures are the following: the mean value and the standard deviation of a queue length, and the probability for the queue length of being within the specified limits from the reference value. The numerical analysis in the load range, which includes a system overload, indicated the adequacy of the constructed mathematical model with hysteretic control and system with an active queue management based on fuzzy logic controller.

Key words and phrases: queuing system, active queue management, hysteretic control, Markov process, system of equilibrium equations, average queue length.